

Figuras



Figura 1: Migración de incisivo central superior izquierdo.



Figura 2: Sobremordida horizontal y vertical aumentada.

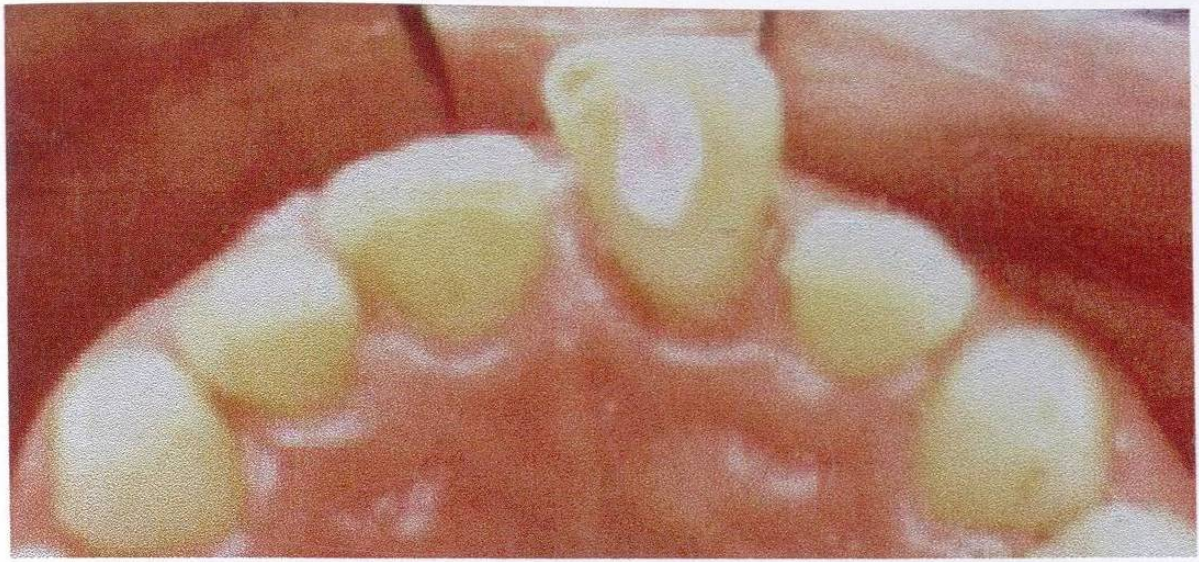


Figura 3: Vista palatina de la migración o desplazamiento presente.

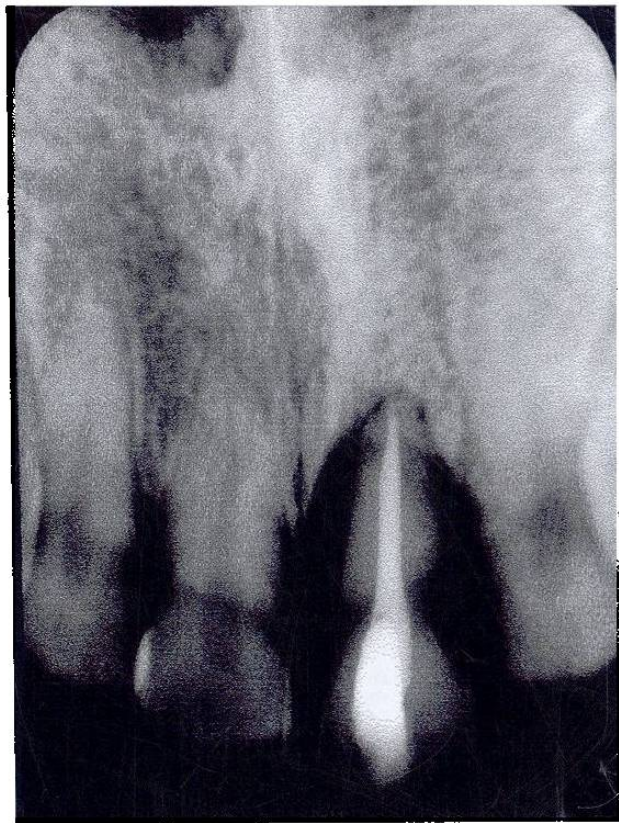


Figura 4: Radiografía intraoral con defecto infraóseo vertical $> 5\text{mm}$.

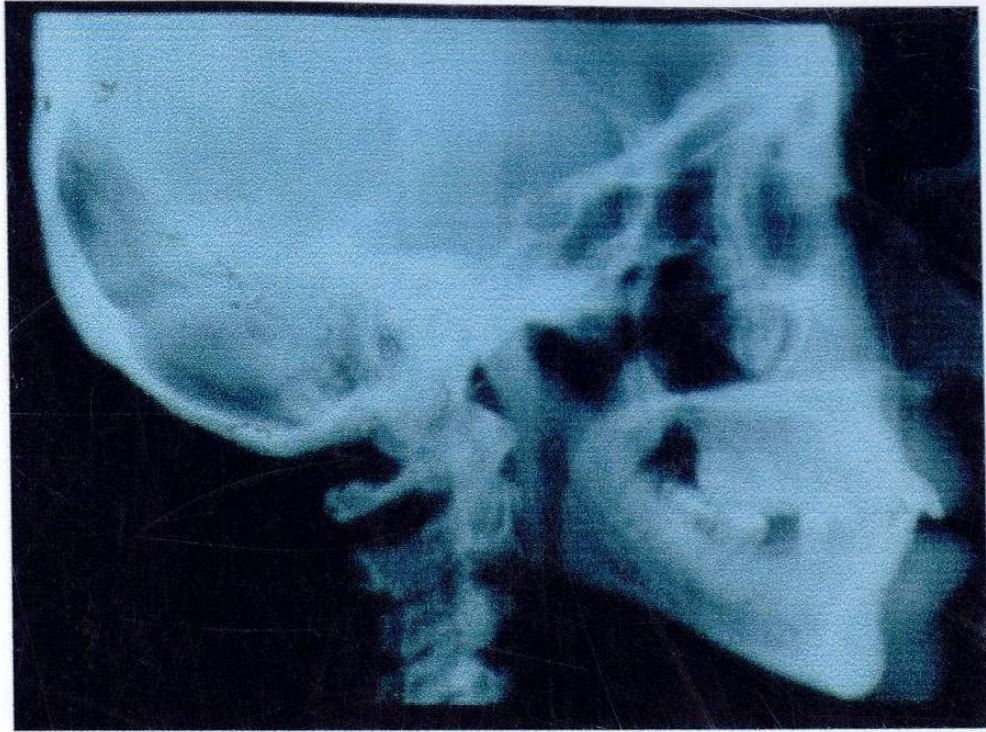


Figura 5: Radiografía extraoral cefalograma lateral, utilizada en el diagnóstico de maloclusión y análisis de superposición.

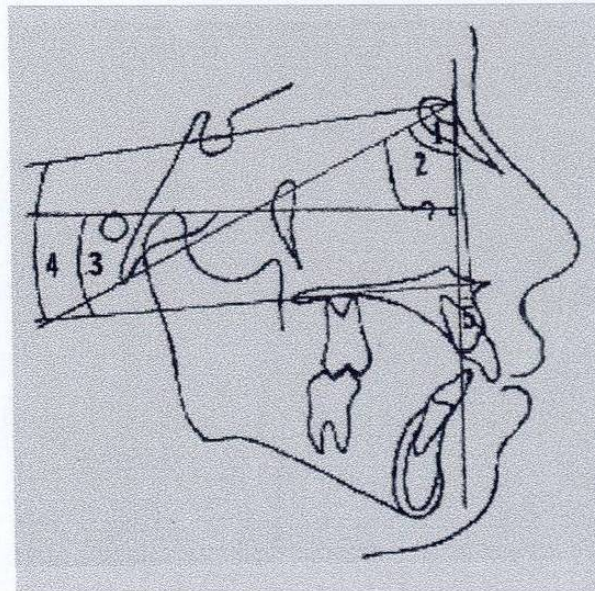


Figura 6: Análisis de Superposición cefalométrico. (1)Cambios Verticales, (2)Cambios Horizontales, (3)Cambios Angulares, (4)Punto Fiducio.

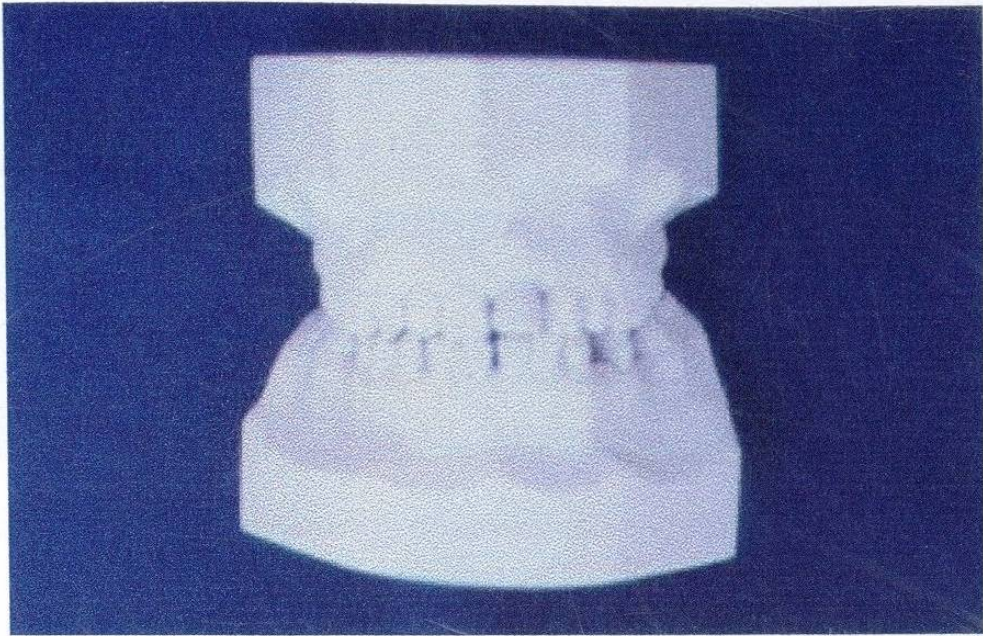


Figura 7: Modelo de estudio para análisis de longitud de corona clínica.

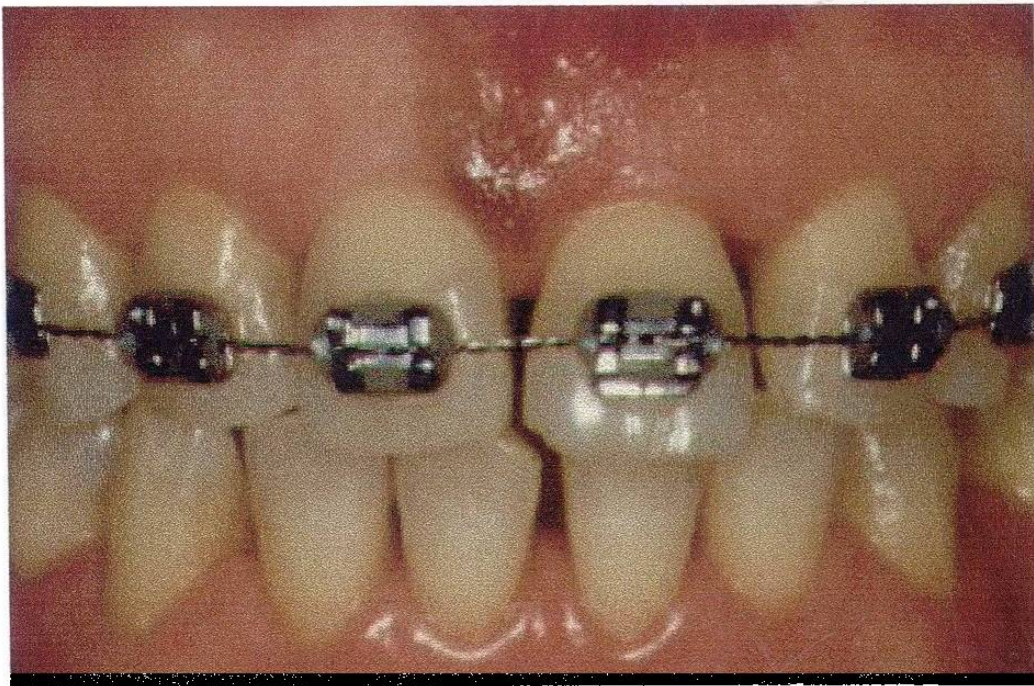


Figura 8: Inicio de tratamiento ortodóncico, colocación de bracket slot 0.018" de canino a canino.



Figura 9: Inicio de tratamiento con alambre trenzado de 0.015" sin un hilo.

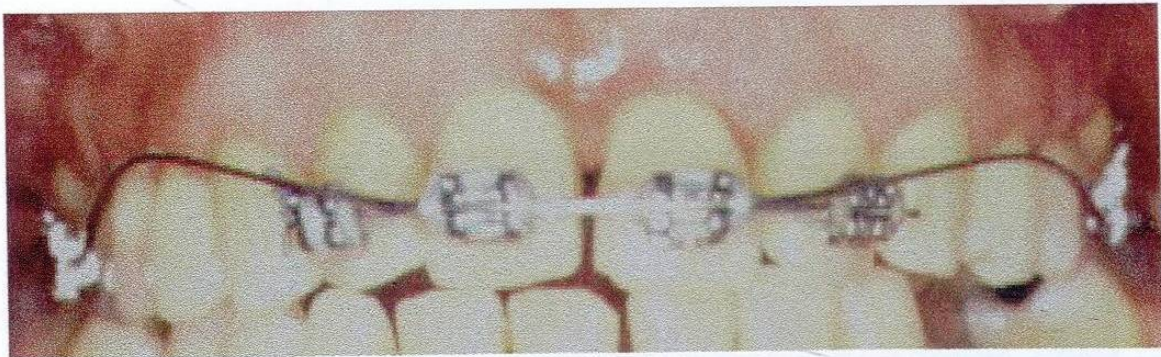


Figura 10: Colocación de tubo cementado a bracket en primeros molares y arco intrusivo de acero de 0.017" x 0.025".



Figura 11: Finalización de terapia orto-perio (24 meses).



Figura 12: Férula de alambre 0.032" conformando el arco por su aspecto lingual de canino a canino superior.

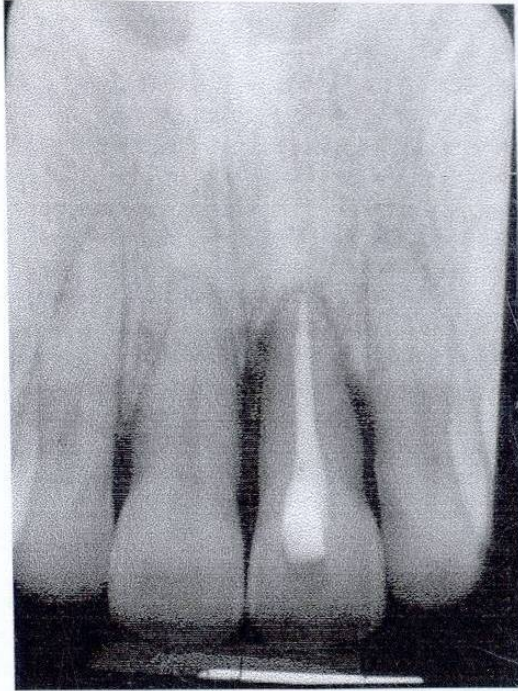


Figura 13: Radiografía intraoral al termino del tratamiento de intrusión (18 meses).

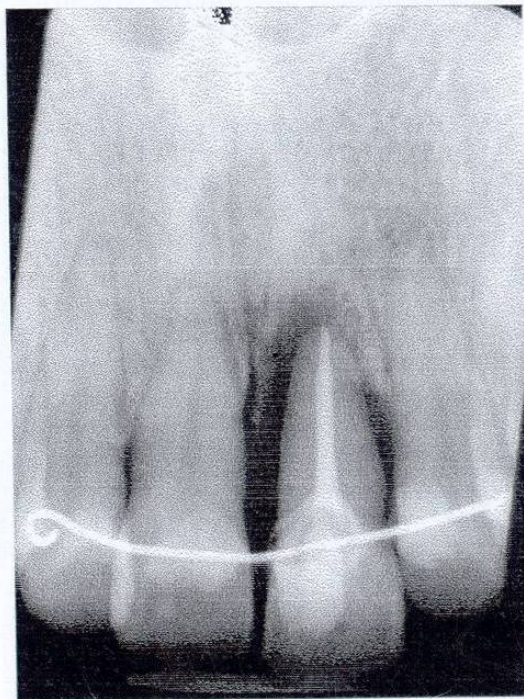


Figura 14: Radiografía intraoral a 6 meses de establecida la retención (24 meses).

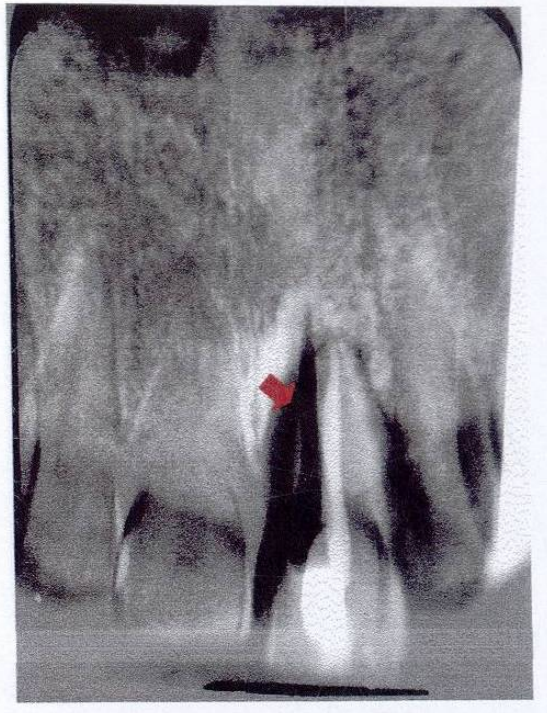


Figura 15: Imagen radiografica de 256 pixeles, correspondiente a substracción de radiografía de inicio y final (área seleccionada indica la posición final del diente)de tratamiento orto-perio.

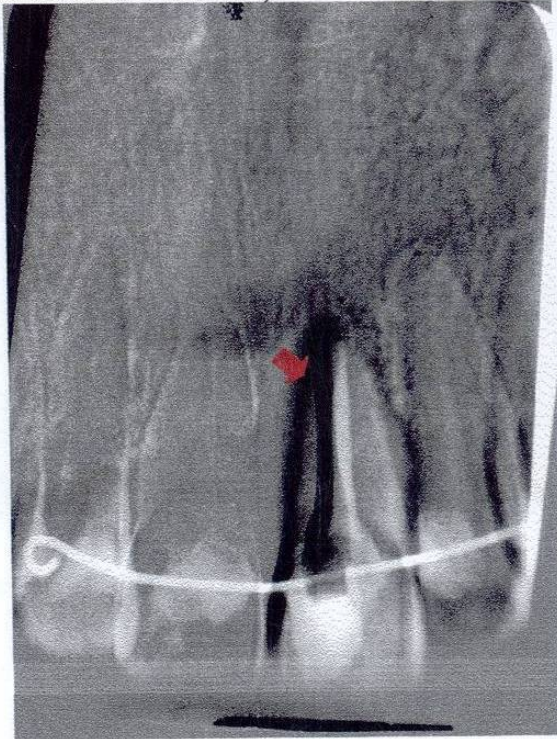


Figura 16: Substracción de radiografía final (área seleccionada indica la posición final del diente) y retención de tratamiento orto-perio.

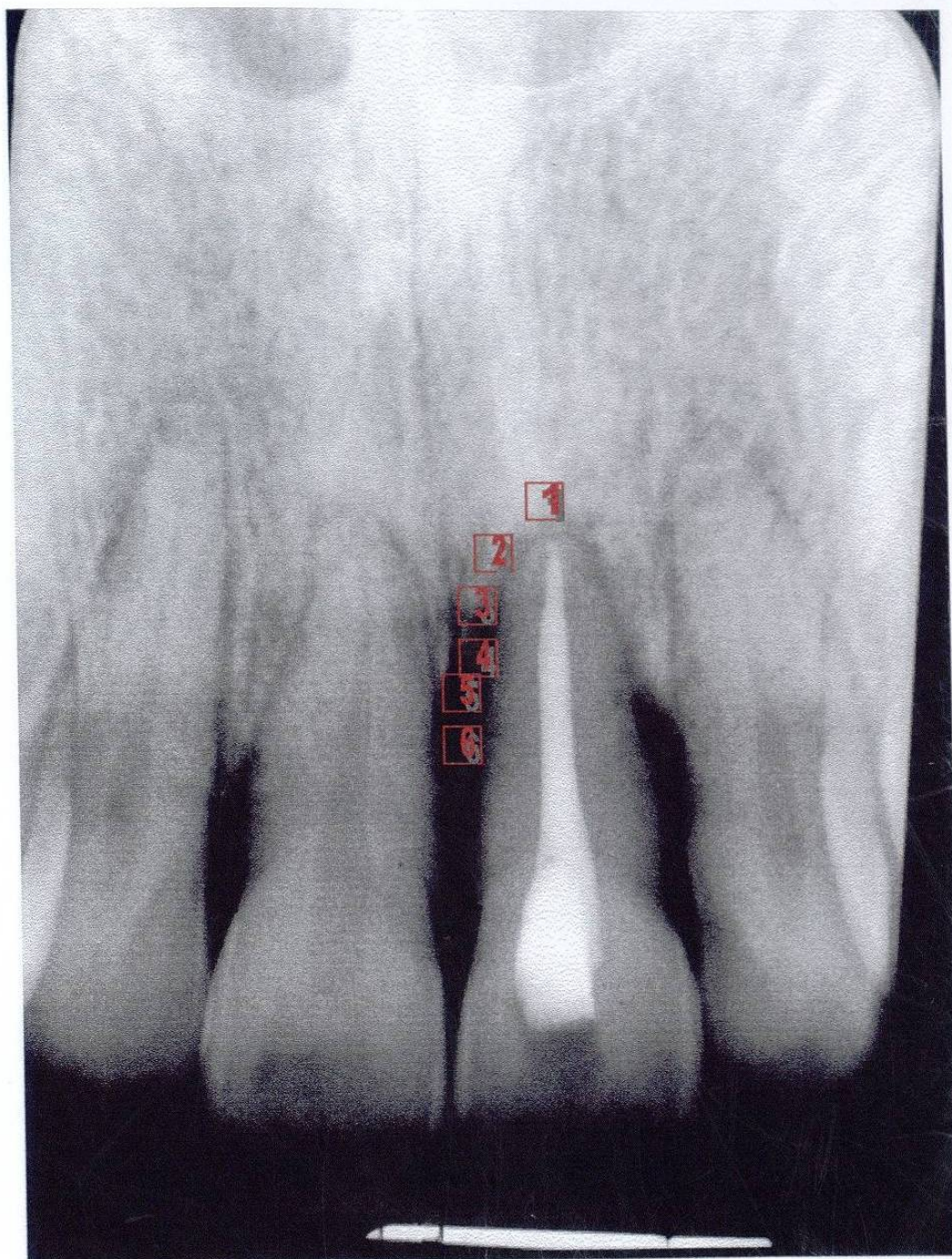


Figura 17: Areas de 16 x 16 pixeles, representando cada cuadro un milímetro cuadrado desde la cresta al ápice, altura apico-coronal de cada defecto entre 5 y 8 mm, utilizadas para el análisis CADIA.

